



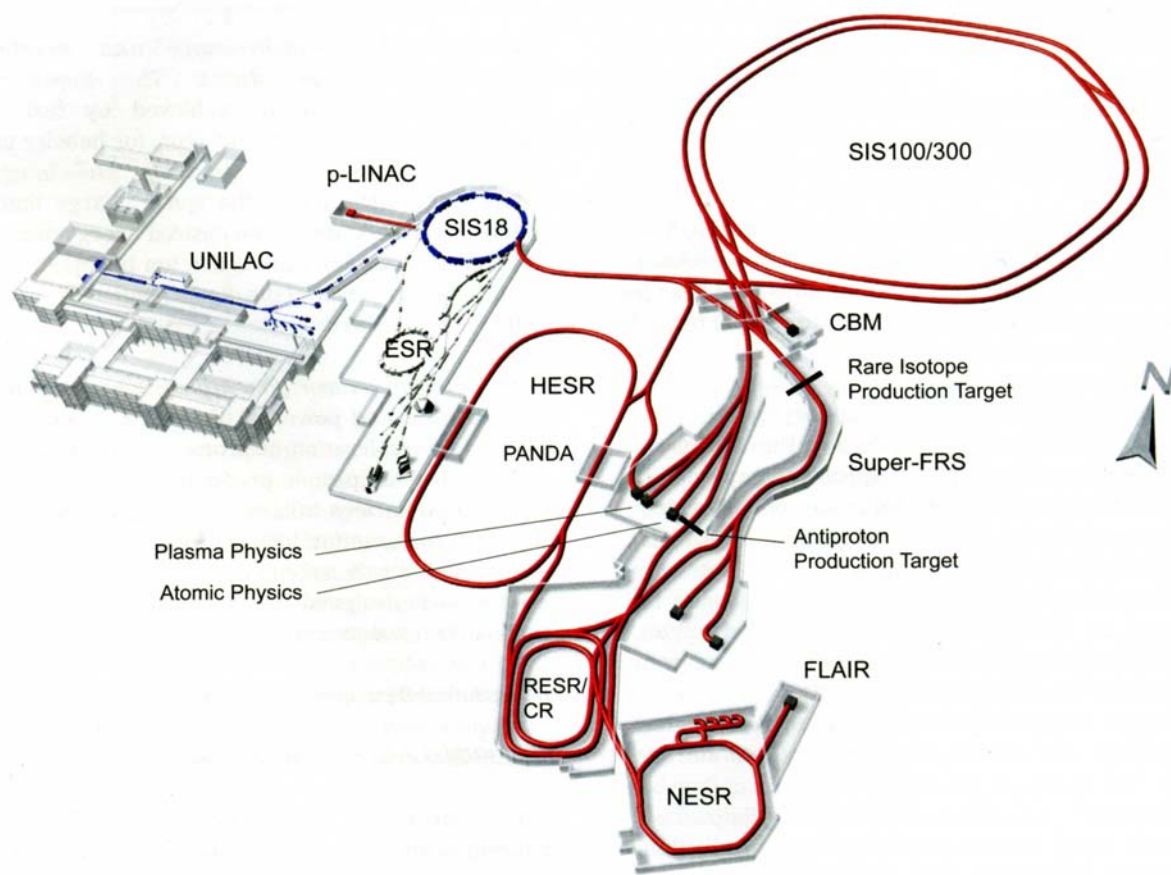
PANDA



AntiProton ANnihilation at DArmstadt

(Strong Interaction Studies with Antiprotons)

Facility for Antiproton and Ion Research



- Proton Linac
- $E_p = 29 \text{ GeV}, 2 \times 10^{13}/\text{bunch}$
- $p_{\bar{p}}$ target Ir 60mm, Ø 3mm
- $P_{\bar{p}} \text{ yield} = 5 \times 10^{-6} \text{ per proton}$
- $E_{p\bar{p}} = 3 \text{ GeV}, 10^8/\text{bunch}$
- $\Delta P/p \sim 0.03$
- $P_{\bar{p}}$ collector & separator
- $P_{\bar{p}}$ accumulation – RESR
- HESR 1.5 – 15 GeV/c

High resolution mode

- $\Delta P/P = 10^{-5}$
- $L_{\max} = 2 \times 10^{31} \text{ cm}^{-2} \text{ sec}^{-1}$

High luminosity mode

- $\Delta P/P = 10^{-4}$
- $L_{\max} = 2 \times 10^{32} \text{ cm}^{-2} \text{ sec}^{-1}$

Physics at PANDA



PANDA Physics Book (arXiv:0903.3905v1, March 2009)

Two body thresholds

Molecules

Gluonic Excitations

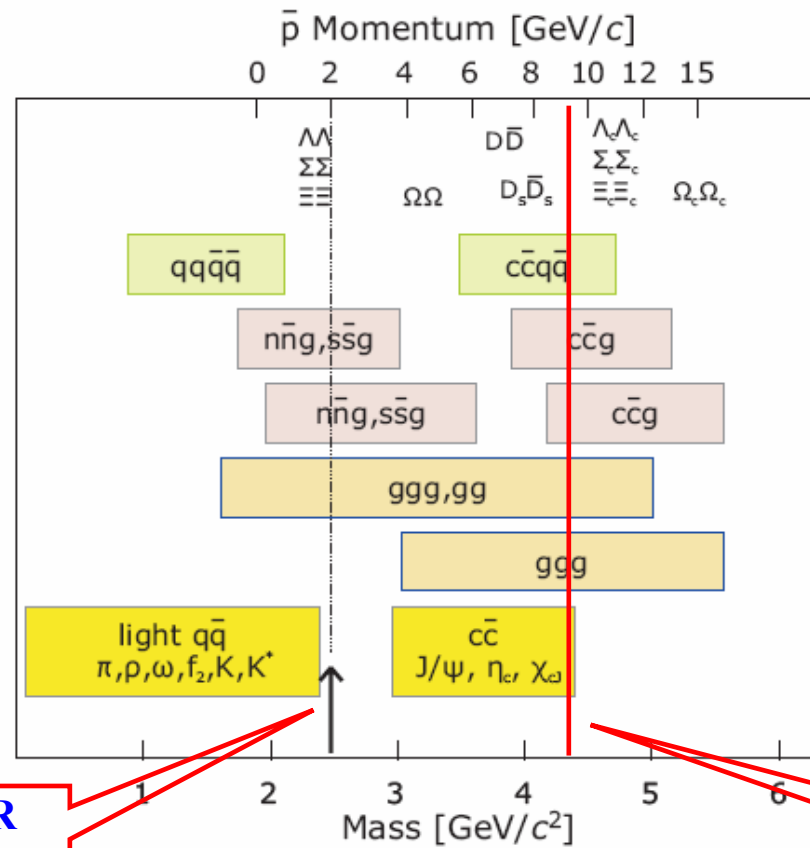
Hybrids

Hybrids+Recoil

Glueballs

Glueballs+Recoil

$q\bar{q}$ Mesons



Charmonium spectroscopy

Gluonic excitations

Open Charm (D* mesons)

Hyperons $pp \rightarrow YY$

Hyper nuclei

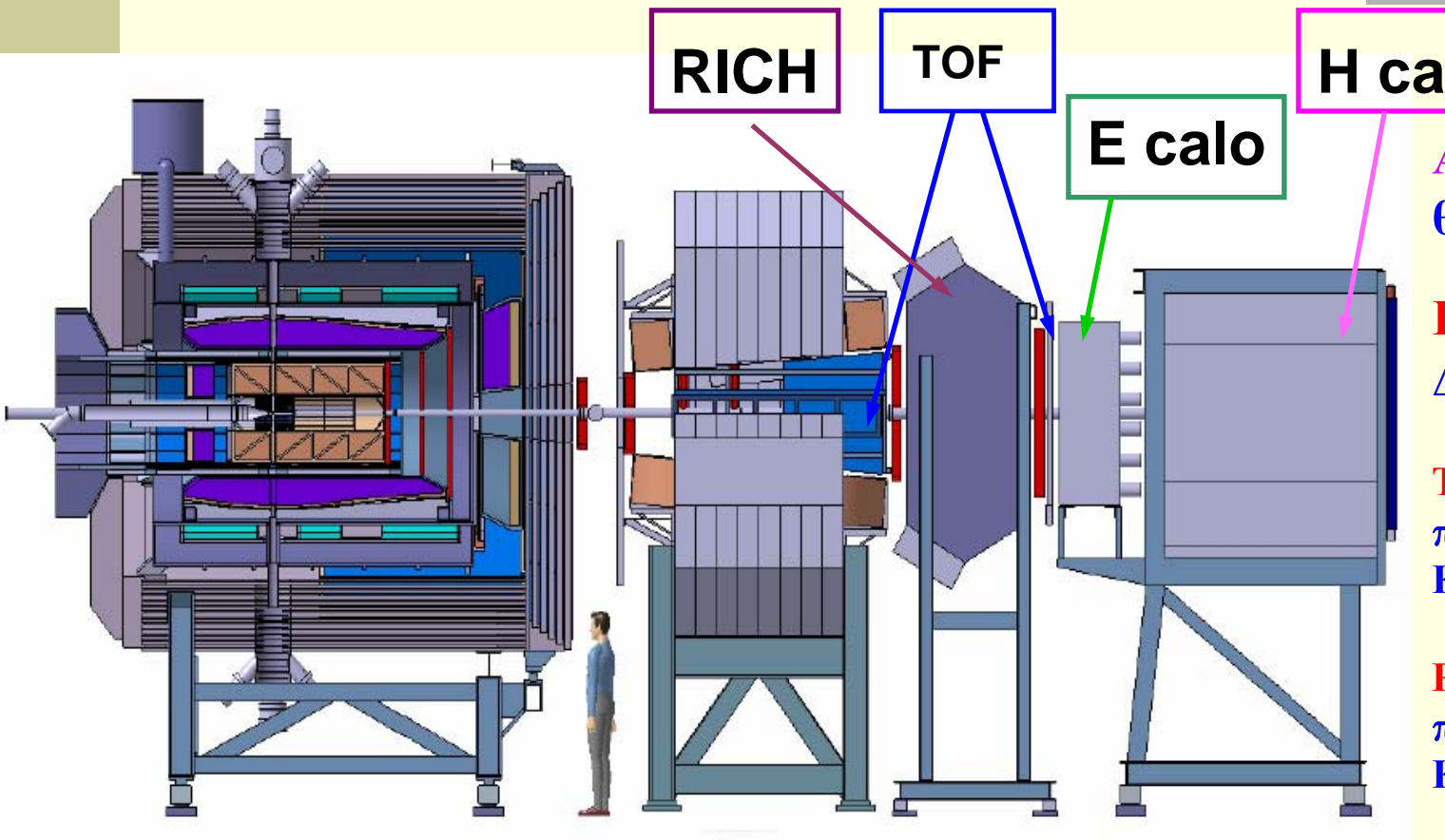
Ξ^- (dss)+p(uud) $\rightarrow \Lambda \Lambda$ (uds)
Charm in nuclei

$p+A \rightarrow J/\psi + (A-1)$

Proton time-like FF

$pp \rightarrow e^+e^-$

PANDA spectrometer



Acceptance:
 $\theta_x \pm 10^\circ$ $\theta_y \pm 5^\circ$

Forward PID:
 $\Delta p/p = 0.5 - 1\%$

TOF
 π/K -up to 3 GeV/c
 K/p -up to 4 GeV/c

RICH
 π/K from 2 GeV/c
 K/p from 3 GeV/c

Geometry



TOF WALL

Plastic - BICRON 408

46 plates $140 \times 10 \times 2.5 \text{ cm}^3$

20 plates $140 \times 5 \times 2.5 \text{ cm}^3$

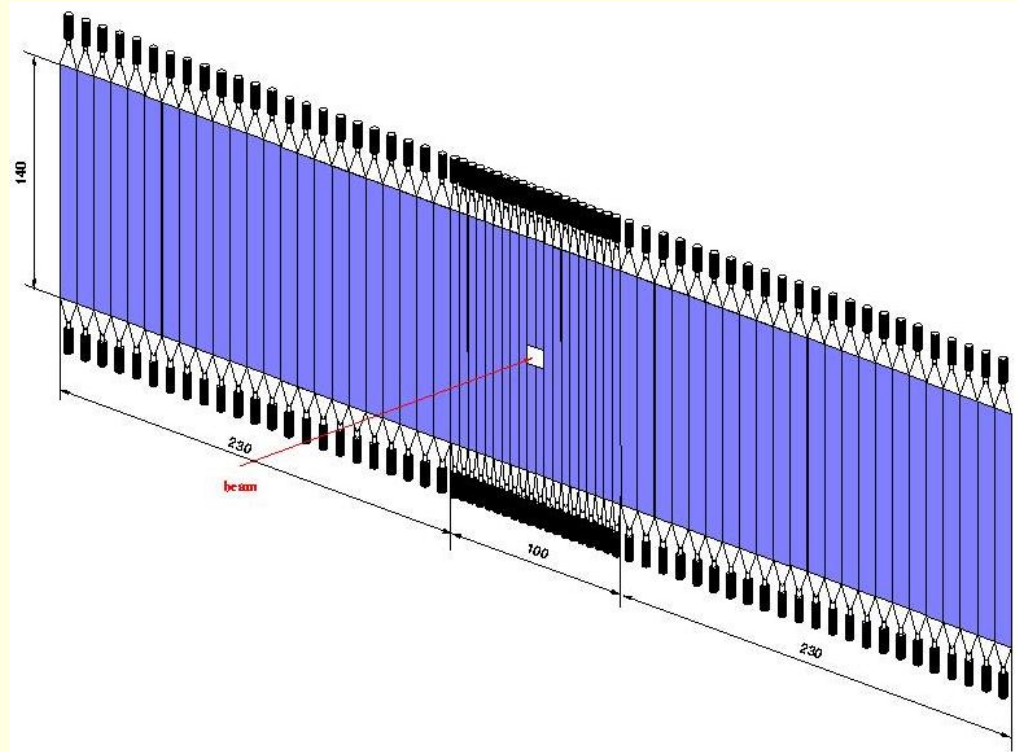
PMT:

Hamamatsu R2083, R4998

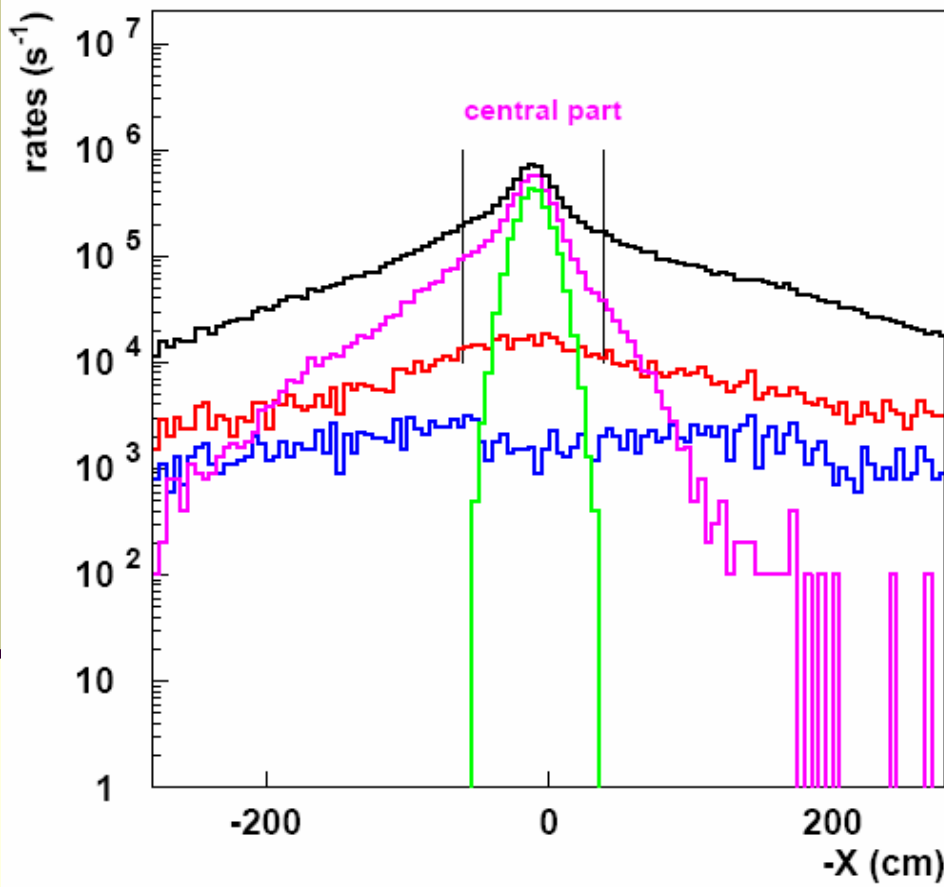
TOF Side

14 plates $100 \times 10 \times 2.5 \text{ cm}^3$

SiPM - as an option



MC: PYTHIA+Geant3 at 15 GeV/c $P_{\bar{b}ar}$ P

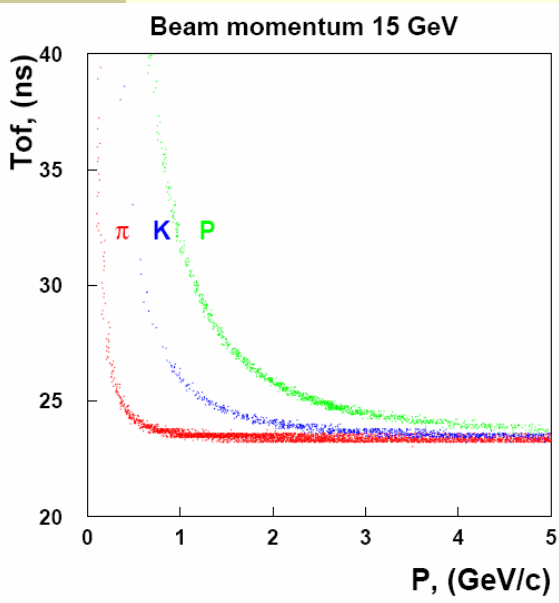


*Rates normalized on
10⁷ Interaction/s in the target*

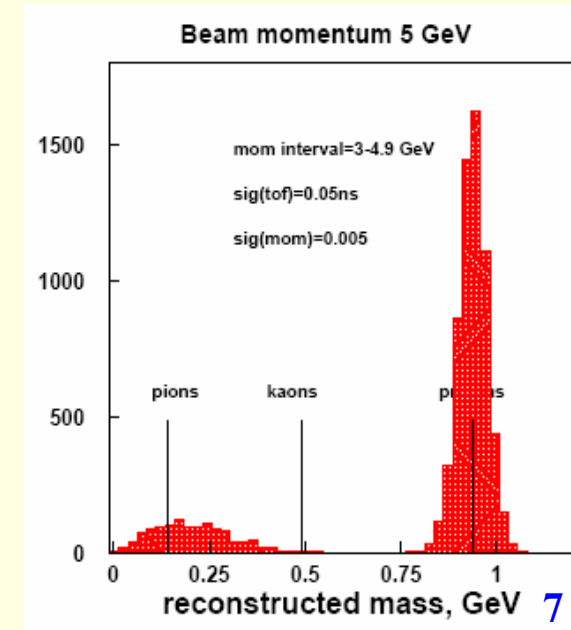
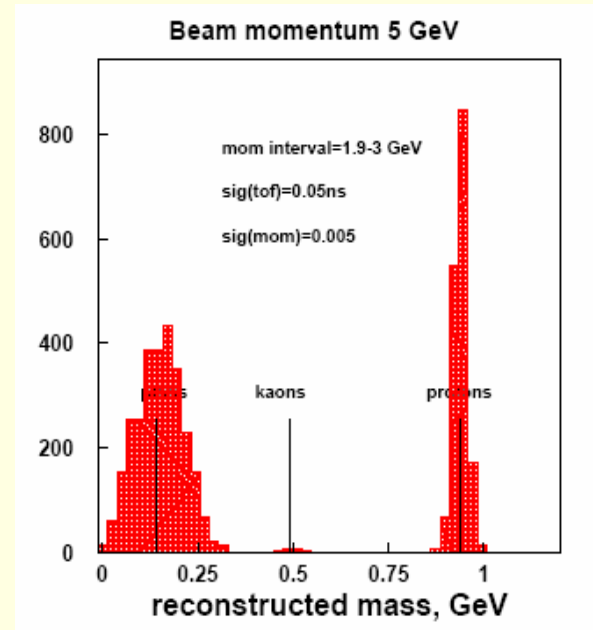
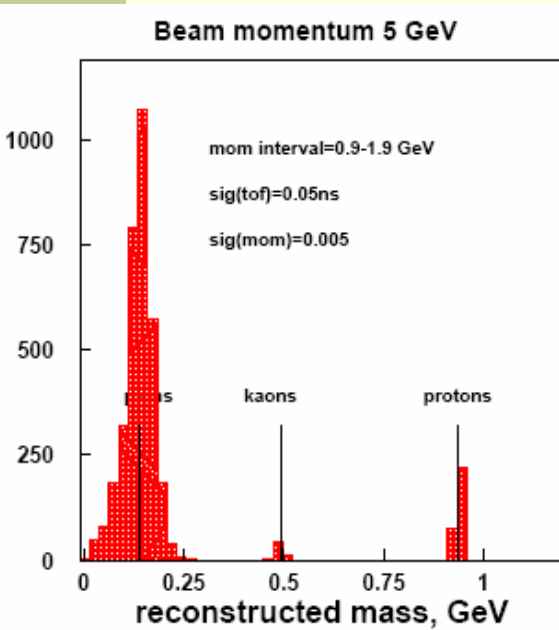
- All charged particles
- $P_{\bar{b}ar}$ elastic and inelastic
- - $P_{\bar{b}ar}$ elastic
- Secondary particles**
- all charged from beam pipes
- e^+e^- pars from γ 's ($\pi^0 \rightarrow \gamma\gamma$)
produced on the beam pipes

**bin = 5 cm - taken equal to
central strip width**

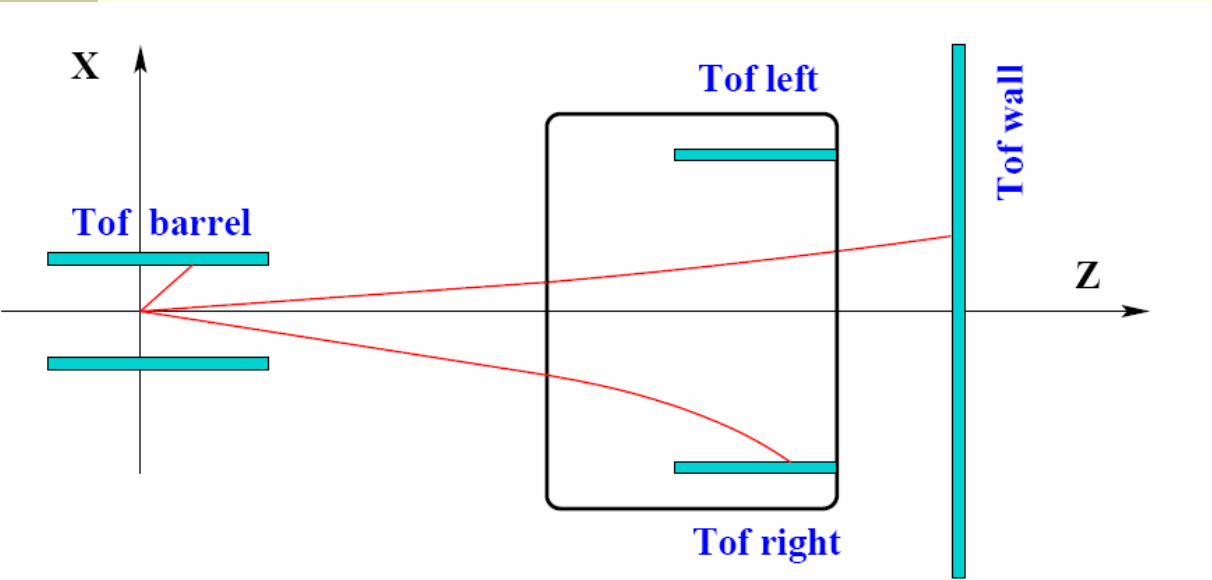
Tof wall, mass reconstruction assuming T_0



$$m_{\text{wall}} = \frac{P_{\text{wall}}}{c} \sqrt{\frac{c^2 t_{\text{of}}^2_{\text{wall}}}{L_{\text{wall}}^2} - 1}$$



Relative TOF and PID

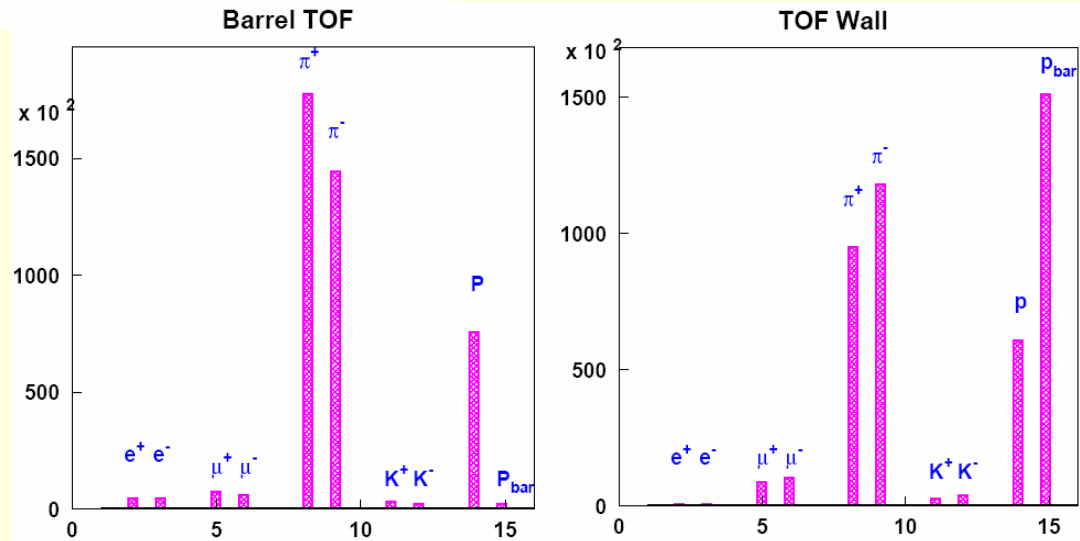


Coincidence:

- Tof wall - Tof barrel
- Tof wall – Tof left
- Tof wall – Tof right
- Tof wall – Tof wall

Relative Tof

$$\text{dt} = \text{Tof}_{\text{wall}} - \text{Tof}_{\text{barrel}}$$



Tof wall mass reconstruction using particles detected by barrel TOF



From the reconstructed event we know:

- particle's charge
- momentum
- track length

(C_{wall} , C_{barrel})
(P_{wall} , P_{barrel})
(L_{wall} , L_{barrel})

$d_{\text{tof}} = d_{\text{tof}}$ with smearing ($\sigma_{\text{tof}} = 100 \text{ ps}$)

This we used for PID

$$\text{tof}_{\text{barrel}}^{\text{calc}}(\pi) = \frac{L_{\text{barrel}}}{c} \sqrt{1 + \left(\frac{m_{\pi}}{p_{\text{barrel}}} \right)^2}$$

We assume

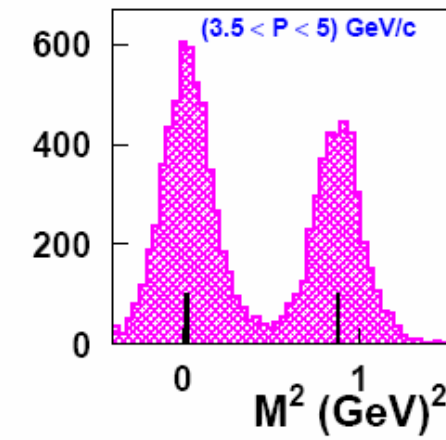
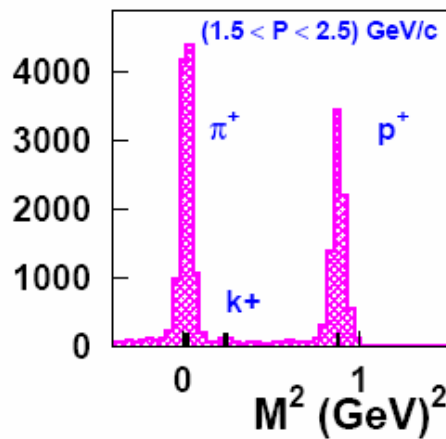
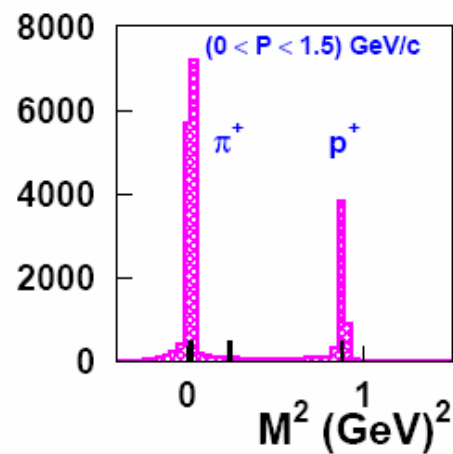
$$\text{Tof}_{\text{wall}} = \overline{d_{\text{tof}}} + \text{tof}_{\text{barrel}}^{\text{calc}}(\pi)$$

$$m_{\text{wall}} = \frac{P_{\text{wall}}}{c} \sqrt{\frac{c^2 \text{tof}_{\text{wall}}^2}{L_{\text{wall}}^2} - 1}$$

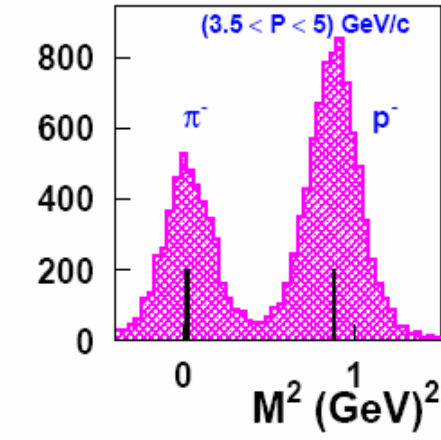
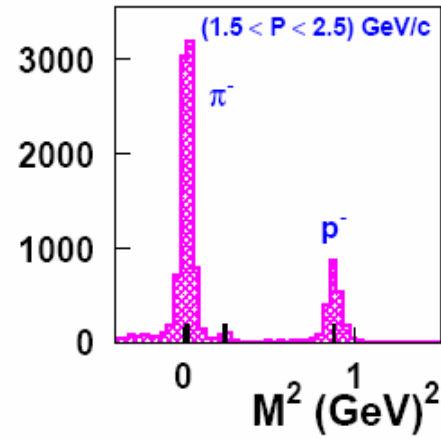
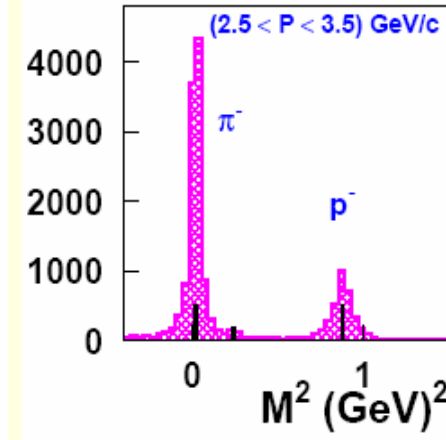
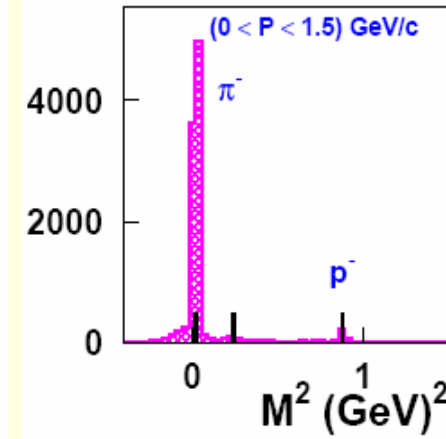
Tof wall particle's mass reconstruction in case of π^- accepted by barrel TOF



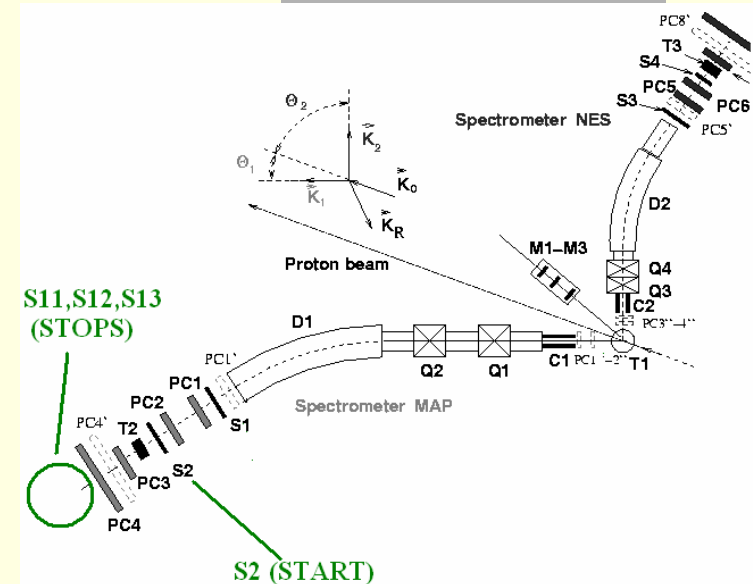
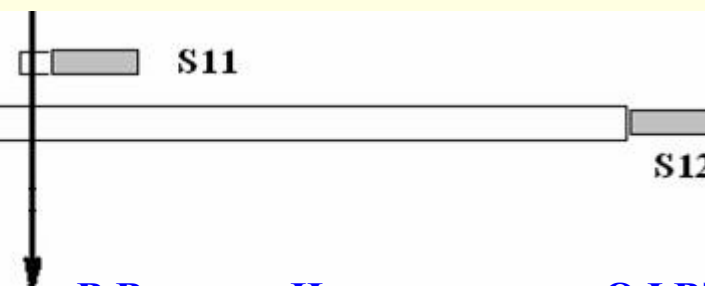
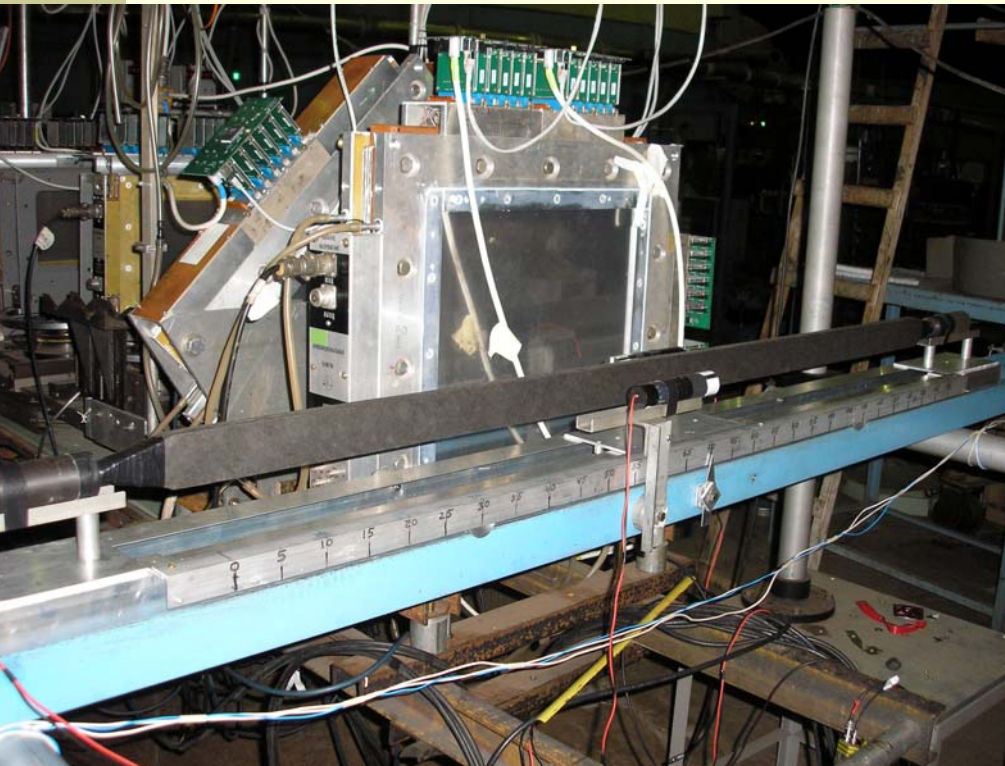
positive



negative



TOF prototype test @ 1 GeV proton beam



730MeV protons

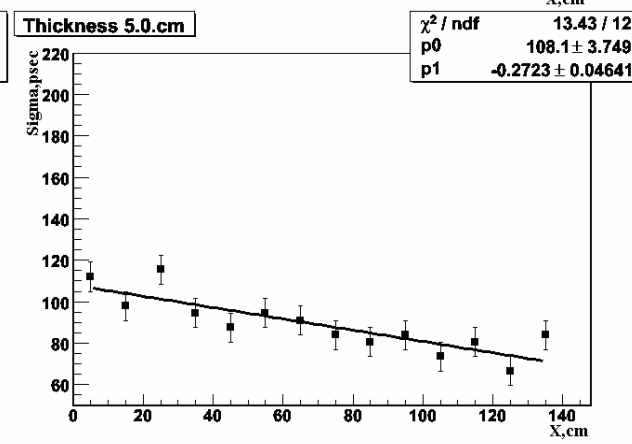
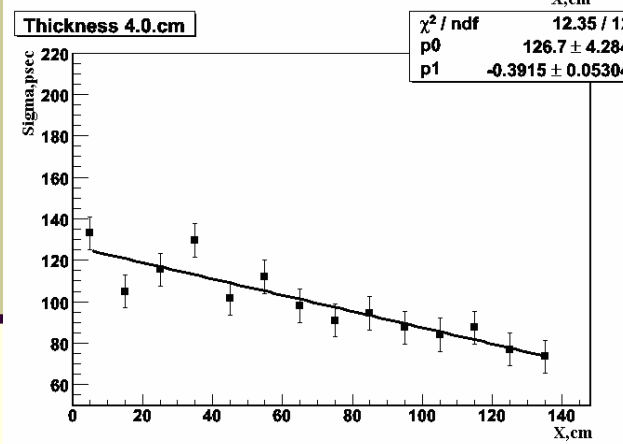
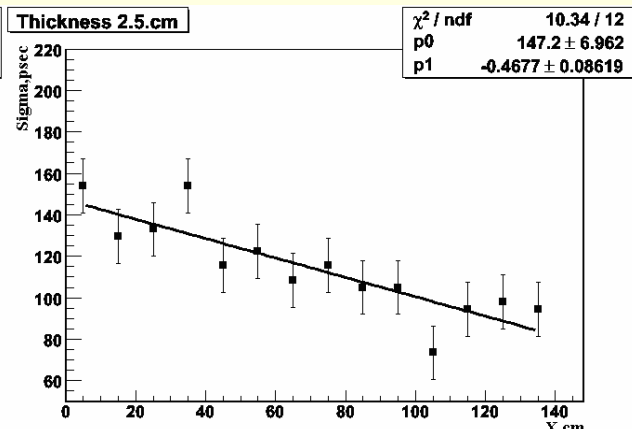
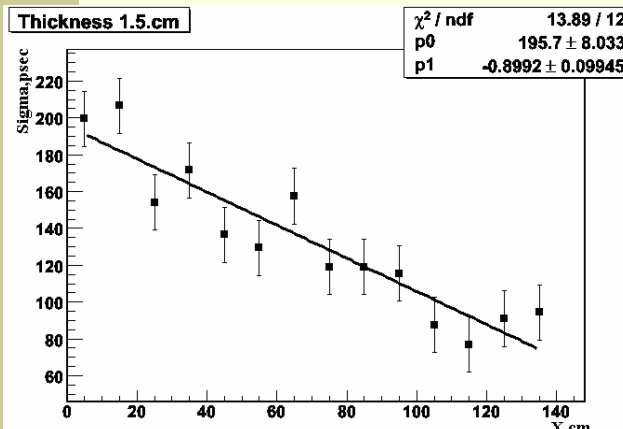
Prototype: $140 \times 5 \times 1.5 \text{ cm}^3$

Small counters S11(12) $2 \times 2 \times 2 \text{ cm}^3$

Plastic: Bicron 408

PMT's: Hamamatsu R4998

$\sigma_{\text{tof}} (S_{11} + S_{12})$ vs coordinate (cm)



Пластик и ФЭУ –
подарены Дж. Ритманом
FZ, Juelich
VME crate – ЛНИ
TDC, QDC... -
DESY, Giessen, Frascati

Есть резервы для
улучшения
разрешения!

Публикации / ПЛАНЫ - 2010



- Physics Performance Report [arXiv:0903.3905v1](https://arxiv.org/abs/0903.3905v1)
- Magnets Technical Design Report
- Результаты работы доложены на 4-х митингах коллаборации ПАНДА
- По результатам обработки тестового эксперимента готовится к публикации препринт ПИЯФ
- Конструирование корпусов ФЭУ, поддерживающей системы с учетом интегрирования ВПД в детектор ПАНДА;
- изготовить и испытать на пучке протонов новый прототип с толщиной пластика 2.5 см;
- продолжить Монте Карло моделирование
- идентификации частиц с помощью ВПД с использованием пакета программ PANDAROOT.
- процессов рождения и распада гиперонных пар, включая тяжелые гипероны. Исследовать возможность измерения поперечной поляризации гиперонов. Исследовать другие реакции на анти-протонном пучке
- ($p\bar{p} \rightarrow e^-e^+$, форм-фактор протона во времени-подобной области)
- подготовить TDR (technical Design Report) по ВПД.